

京都大学防災研究所 正 江頭進治
京都大学防災研究所 正 芳田和男
京都大学 大学院 学 神矢弘

1. 緒言 山腹崩壊や土石流による土砂災害の顕在化に伴い、災害のより有効な防止・軽減策が望まれている。著者らは、この問題に対する科学的指針を得ることを目的として山腹崩壊によって生産される土塊の運動について検討を進めている。¹⁾ ここでは、その一つとして、土塊が塑性的な構造を保持したまま滑動する場合の運動則について理論と実験の両面より検討する。

2. 土塊の運動則 土塊の運動については、これまでにエネルギー保存則や運動量保存則に基づいて検討された例が二、三あるが、完成の域にはほど遠い感である。著者らは先に、斜面を滑動する土塊を図-1のようモデル化し、土塊に働く駆動力として重力および表面流による力を考慮したことから、抵抗力として固体抵抗と液体抵抗を考えて次式のような運動量保存則を提示した。^{2), 3)} ここで、土塊の空隙は水び飽和していると見なしてある。

$$\frac{du_f}{dt} (P_f A_f u_f) = P_f A_f g \sin \theta - \mu_k (1-\lambda) (P_s - P_f) A_f g \cos \theta - \rho f_b l_f u_f^2 + \rho (u_f - u_i)^2 h_i + \frac{1}{2} \rho g h_i^2 \quad \dots \dots \dots (1)$$

ここで、 P_f, P_s, P_i : 水、土粒子および土塊の密度で、 $P_f = (1-\lambda) P_s + \lambda P_i$ 、 A_f, A_i : 土塊の長さおよび断面積、 λ : 土塊の空隙率、 h_i, u_i : 表面流の水深および流速、 u_f : 土塊の滑動速度、 μ_k : 駆動摩擦係数、 f_b : 流体抵抗係数である。上式において、土塊が滑動を開始すれば第④項より第⑤項は無視できることが判明している。そこでこれらの項を省略し、 $ds = u_f d(P_f A_f)/dt \ll P_f A_f du_f/dt$ として、土塊の厚さ h_f および重力加速度 g を用いて式(1)を無次元化すれば、次式を得る。

$$d u_f' / dt' = a u_f'^2 + b \quad \dots \dots \dots (2) \quad \text{ここで}, u_f' = u_f / \sqrt{g h_f}, t' = t \sqrt{g/h_f} \text{ で}, a, b \text{ は次のようである}.$$

$a = -2 (P_f / P_s) f_b$, $b = \cos \theta \{ \tan \theta - \mu_k (1-\lambda) (P_s - P_f) / P_s \}$ 。式(2)から推察されるように、斜面上における土塊の運動は μ_k と f_b に依存することが判明する。

なお液体抵抗係数は、斜面に接觸してある間隙水が土塊の滑動に伴いせん断されたことによるものと考えている。

3. 摩擦係数と抵抗係数 式(2)において $a=0$, $b = \cos \theta \{ \tan \theta - \mu_k (1-\lambda) \}$

となるような条件のもとで土塊の運動を調べれば、 μ_k を独立に取り出すことが可能である。そこで、一様な砂、粘土および水を混合して土塊を作り、種々の粗度を有する斜面におけるその運動を調

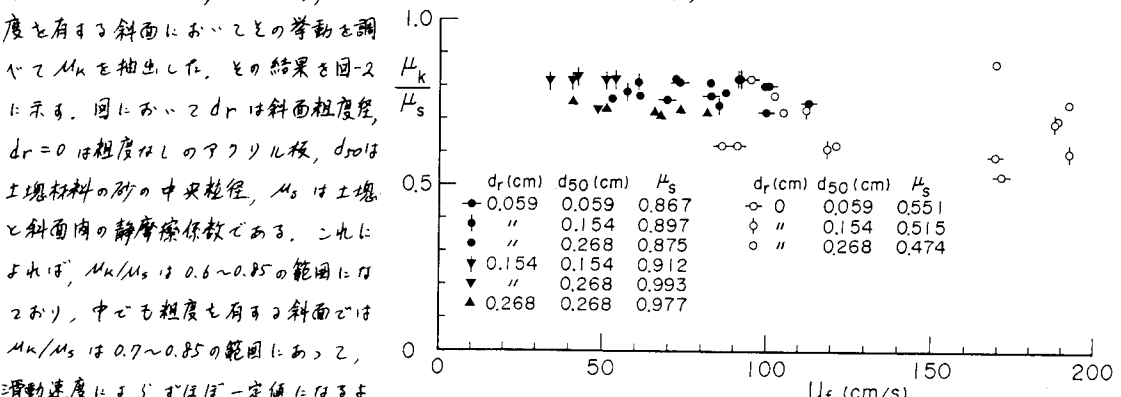


図-1 滑動土塊のモデル

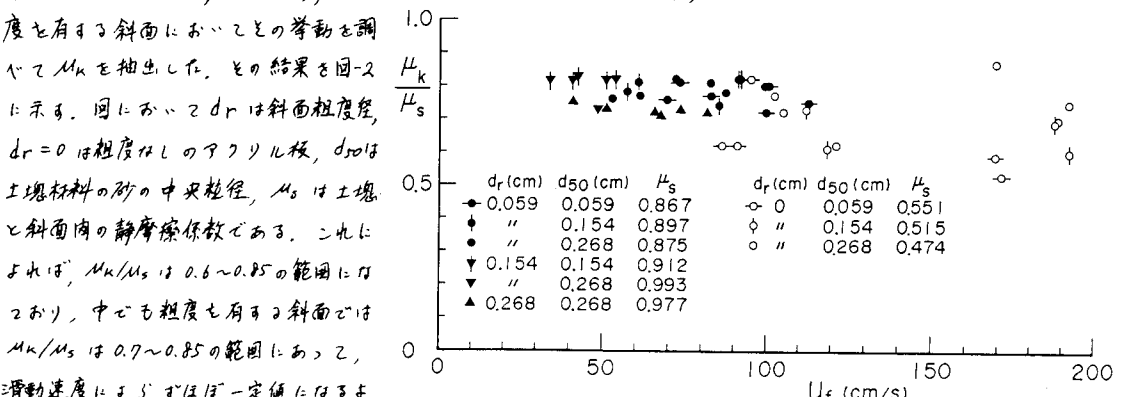


図-2 摩擦係数に関する実験結果

f_b については、間隙水のせん断に起因するものと考えておき、まず、つぎのような議論をしておく。いま、粘性底層厚に相等するせん断層厚を E とし、これも $E = KV/\mu_k$ とするとき推定せる f_b となる。さて、 $\dot{z} = \mu_k du/dz|_{z=0} = \mu_k u_f/E$ 、 $\dot{z} = \rho f_b \cdot u_f^2$ と置いて、これらを連立して求めると次式を得る。

$$f_b = 1/K^2 \quad \text{--- (3)}$$

ここで、 K は斜面と土壤の材料から定まる係数と考えておく。

一方、実験においては前述の方法で作成した土壤を水路上流端近傍に置き、これを水で飽和させた後、一定量の水を供給して土壤の滑動を調べた。さらに、 $du'/dt' = 0$ のときの滑動速度 $u_f' = \sqrt{-b/a}$ に対して先に求めた μ_k を適用して f_b を算出した。 10^{-2} との結果を図-3に示す。これによれば、 f_b には土壤の材料による違いではなく、斜面粗度の有無による違いが顕著に現われている。すばやく、粗度がない場合には $f_b = 0.03 \sim 0.075$ ($K = 3.7 \sim 5.8$)、粗度斜面における $f_b = 0.15 \sim 0.6$ ($K = 1.3 \sim 2.6$) 程度の範囲には、このようないくつかのデータがかなり点在しているものの、式(3)で示されるように、斜面の特性ごとに f_b は一定値もとら可能性もある。なお、図-3の横軸の $Re*$ の意味については議論省略する。

4. 運動則の適用例 滑体抵抗係数 f_b を一定とすれば、式(2)より無次元滑動速度および滑動距離は次のようになる。

$$u_f' = \left\{ (e^{2\sqrt{-ab}t'} - 1) / (e^{2\sqrt{-ab}t'} + 1) \right\} \sqrt{-b/a} \quad \text{--- (4)}$$

$$x_f' = \frac{1}{a} \left\{ \ln \left(\frac{e^{2\sqrt{-ab}t'} + 1}{2} \right) - \sqrt{-ab} t' \right\} \quad \text{--- (5)}$$

図-4は、 f_b の違う3種類の u_f' , x_f' の特性を示したものである。これによれば、 f_b が大きいほど定常滑動速度 $u_f' = \sqrt{-b/a}$ は小さくなるが、定常状態が速やかに達成されるのがわかる。

図-5は、実験値と式(4)(5)を比較したものである。定常状態への遷移は、計算値の方が少し早いようであるが、図の結果によれば、両者はかなりよく一致している。

5. 結語 土壌の運動を規定する μ_k や f_b について考察することも運動量則の適用例を示し、以下のようないくつかの知見を得た。 μ_k は滑動速度に大きくほぼ一定値になることが判明した。 f_b についても、斜面の条件ごとに一定値になることを推察したが、データが少く、これを十分検証するまでは至っていない。ついで、 μ_k や f_b 一定の条件における運動量則の解と実験値との比較を行い、良好な結果を得た。このことからも f_b は一定値をとるものと考えられるが、これについては今後十分な検討が必要である。

参考文献：1) 菊田・江頭・大槻：京大防災研年報、26B-2, 1983. 2) Scheidegger : Rock Mech. Vol. 5, 1973.
3) 奥田：京大防災研年報、16A, 1973. 4) 吉川・福岡：昭和46年台風25号に対する千葉県下の実態調査、1972.

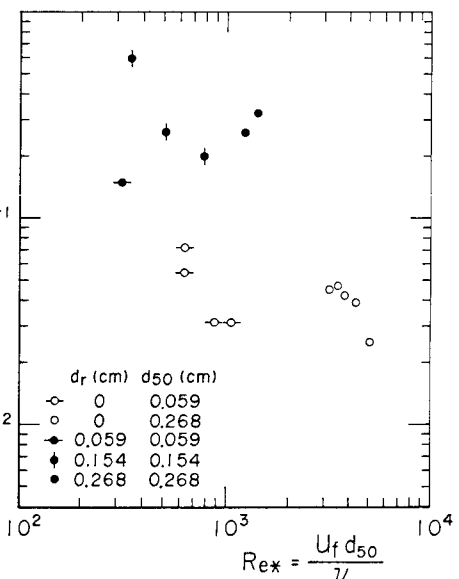


図-3 滑体抵抗係数に関する実験値

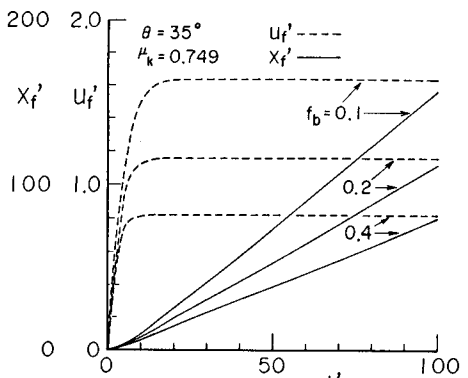


図-4 無次元滑動速度・滑動距離の一例

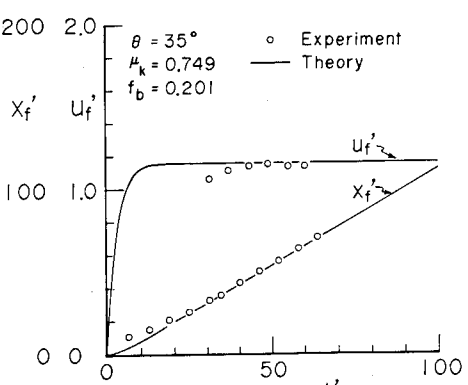


図-5 u_f' , x_f' に関する計算値と実験値